

УДК 519.142.2 + 519.2

## ОПТИМАЛЬНОЕ УПРАВЛЕНИЕ ОЧЕРЕДЬЮ С ДВУМЯ ПРИОРИТЕТАМИ В ПАМЯТИ ОДНОГО УРОВНЯ

Е. А. АКСЕНОВА

В статье рассмотрена задача управления двухприоритетной очередью, представленной в виде двух FIFO-очереди, для трех способов организации хранения данных.

Работа выполнена при финансовой поддержке РФФИ, грант №06-01-00303.

### 1. ПОСТАНОВКА ЗАДАЧИ

Во многих приложениях требуется обработка записей с упорядоченными определенным образом ключами. Часто накапливается некоторый набор записей, после чего обрабатывается запись с максимальным значением ключа, затем, возможно, накопление записей продолжается, затем обрабатывается запись с наибольшим текущим ключом и т. д. Соответствующая структура данных, поддерживающая операции вставки нового элемента и удаления элемента с наибольшим приоритетом, называется очередью с приоритетами [1, 2].

Рассмотрим очередь с двумя приоритетами, расположенную в области памяти размера  $m$  единиц. Такую приоритетную очередь представим в виде двух FIFO-очереди. Первой FIFO-очереди присвоим приоритет 1, второй FIFO-очереди – приоритет 2. Наивысший приоритет 2. Будем считать, что время дискретно. В каждый момент времени могут произойти следующие операции:

- включение элемента с первым приоритетом с вероятностью  $p_1$  (включение элемента в первую FIFO-очередь),
- включение элемента со вторым приоритетом с вероятностью  $p_2$  (включение элемента во вторую FIFO-очередь),
- исключение элемента из очереди с вероятностью  $q$ ,

- очередь не изменяет своей длины с вероятностью  $r$  (только чтение или отсутствие операции),

где  $p_1 + p_2 + q + r = 1$ . Исключение элемента из очереди происходит по наивысшему приоритету. Это означает, что пока вторая FIFO-очередь не пуста, с вероятностью  $q$  исключение элементов происходит из этой очереди. Как только вторая FIFO-очередь станет пустой, с вероятностью  $q$  исключение элементов будет происходить из первой FIFO-очереди. При исключении элемента из пустой очереди не происходит завершения работы.

Рассмотрим последовательный, связанный и страничный способы организации FIFO-очереди. Необходимо определить, как распределить память между FIFO-очередями в последовательном способе, и какой из способов организации очередей является оптимальным. В качестве критерия оптимальности рассмотрим максимальное среднее время работы с приоритетной очередью до переполнения выделенного объема памяти.

## 2. ПОСЛЕДОВАТЕЛЬНОЕ ПРЕДСТАВЛЕНИЕ

В последовательном способе организации каждой FIFO-очереди выделено некоторое количество единиц памяти из данных  $m$  единиц. Пусть  $s$  – количество единиц памяти, выделенных первой FIFO-очереди, тогда  $(m - s)$  – количество единиц памяти, выделенных второй FIFO-очереди (Рис. 1).

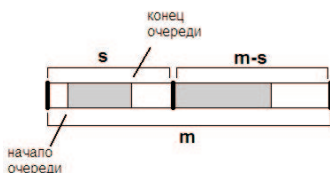


Рис. 1. Последовательное представление

**2.1. Математическая модель и матрица вероятностей переходов.** Обозначим текущие длины FIFO-очереди  $x_1$  и  $x_2$ . В качестве математической модели процесса работы с приоритетной очередью рассмотрим случайное блуждание по целочисленной решетке в двухмерном пространстве  $0 \leq x_1 < s + 1$ ,  $0 \leq x_2 < m - s + 1$  (Рис. 2), где

$x_1 = s+1, x_2 = m-s+1$  – поглощающие экраны, попадание на которые характеризуется как переполнение одной из FIFO-очереди,  $(-1, 0)$  и  $(0, -1)$  – отражающие точки, т.к. только в состоянии  $x_1 = x_2 = 0$  возможно исключение из пустой очереди. Исключение элементов из первой FIFO-очереди может происходить только при  $x_2 = 0$ .

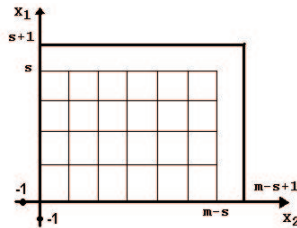


Рис. 2. Область блуждания при последовательном представлении

Блуждание начинается в точке  $x_1 = x_2 = 0$ . Необходимо определить такое значение  $0 \leq s \leq m$ , чтобы время блуждания до попадания на поглощающие экраны было максимально.

Рассмотрим случай, когда в очереди хранятся данные, длина информационной части которых равна  $L > 1$  единиц памяти. Предполагаем, что  $m$  кратно  $L$ . Количество элементов в этом случае равно  $m/L$ . В качестве математической модели в этом случае будем иметь

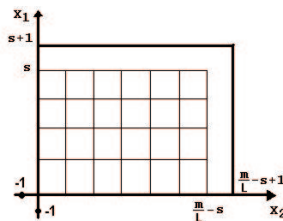


Рис. 3. Область блуждания, когда длина информационной части равна  $L$

случайное блуждание по целочисленной решетке в двухмерном пространстве  $0 \leq x_1 < s+1, 0 \leq x_2 < m/L-s+1$  (Рис. 3), где  $x_1 = s+1, x_2 = m/L-s+1$  – поглощающие экраны,  $(-1, 0)$  и  $(0, -1)$  – отражающие точки.

Блуждание начинается в точке  $x_1 = x_2 = 0$ . Необходимо определить такое значение  $0 \leq s \leq m/L$ , чтобы время блуждания до попадания на поглощающие экраны было максимально.

Если в произвольный момент времени процесс блуждания находится в состоянии  $(x_1, x_2)$ , то в следующий момент времени он переходит в состояние  $(x'_1, x'_2)$ , которое определяется правилами:

$$(x_1, x_2) \xrightarrow{p_1} (x'_1, x'_2) = \{(x_1 + 1, x_2), \quad 0 \leq x_1 \leq s, \quad 0 \leq x_2 \leq m - s;$$

$$(x_1, x_2) \xrightarrow{p_2} (x'_1, x'_2) = \{(x_1, x_2 + 1), \quad 0 \leq x_1 \leq s, \quad 0 \leq x_2 \leq m - s;$$

$$(x_1, x_2) \xrightarrow{q} (x'_1, x'_2) = \begin{cases} (x_1 - 1, x_2), & 0 < x_1 \leq s, \quad x_2 = 0; \\ (x_1, x_2 - 1), & 0 \leq x_1 \leq s, \quad 0 < x_2 \leq m - s; \\ (x_1, x_2), & x_1 = 0, \quad x_2 = 0; \end{cases}$$

$$(x_1, x_2) \xrightarrow{r} (x'_1, x'_2) = \{(x_1, x_2), \quad 0 \leq x_1 \leq s, \quad 0 \leq x_2 \leq m - s.$$

Если длина информационной части элемента в очереди равна  $L$ , то вместо  $m$  в этом случае будем рассматривать  $m/L$ .

Случайное блуждание будем рассматривать как конечную однородную поглощающую цепь Маркова [3]. Пронумеруем невозвратные состояния цепи так, как показано графически (Рис. 4). Количество невозвратных состояний в такой цепи равно  $(s + 1)(m - s + 1)$ . Например, для  $m = 6, s = 4$  количество невозвратных состояний равно 15 (Рис. 4).

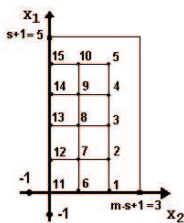


Рис. 4. Область блуждания и нумерация невозвратных состояний при  $m = 6, s = 4$

Рассмотрим матрицу  $Q$  вероятностей переходов из невозвратных состояний в невозвратные. Для размера памяти  $m$  и заданного  $s$  размерность матрицы  $Q$  будет  $(s + 1)(m - s + 1) \times (s + 1)(m - s + 1)$ .

**Теорема 1.** Матрица  $Q$  при заданной нумерации, размере памяти  $t$  и заданной величине  $s > 0$  имеет следующий вид:

$$Q = \begin{pmatrix} A_{(s+1) \times (s+1)} & B_{(s+1) \times (s+1)} & & & 0 \\ C_{(s+1) \times (s+1)} & A_{(s+1) \times (s+1)} & \dots & & \\ & C_{(s+1) \times (s+1)} & \dots & B_{(s+1) \times (s+1)} & \\ & & \dots & A_{(s+1) \times (s+1)} & B_{(s+1) \times (s+1)} \\ & 0 & & C_{(s+1) \times (s+1)} & A'_{(s+1) \times (s+1)} \end{pmatrix},$$

где

$$A_{(s+1) \times (s+1)} = \begin{pmatrix} r & p_1 & & & 0 \\ & r & p_1 & & \\ & & \dots & \dots & \\ & & & r & p_1 \\ 0 & & & & r \end{pmatrix},$$

$$A'_{(s+1) \times (s+1)} = \begin{pmatrix} r+q & p_1 & & & 0 \\ q & r & p_1 & & \\ & q & \dots & \dots & \\ & & \dots & \dots & p_1 \\ 0 & & & q & r \end{pmatrix},$$

$$B_{(s+1) \times (s+1)} = \begin{pmatrix} q & & & & 0 \\ & q & & & \\ & & \dots & & \\ & & & q & \\ 0 & & & & q \end{pmatrix},$$

$$C_{(s+1) \times (s+1)} = \begin{pmatrix} p_2 & & & & 0 \\ & p_2 & & & \\ & & \dots & & \\ & & & p_2 & \\ 0 & & & & p_2 \end{pmatrix}.$$

ДОКАЗАТЕЛЬСТВО. Индукция проводится по размеру памяти  $t$ .

1) Пусть размер памяти  $t = 2, s = 1$  (Рис. 5). Размерность матри-

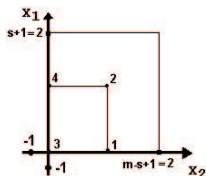


Рис. 5. Область блуждания и нумерация невозвратных состояний при  $t = 2, s = 1$

цы  $Q$  будет  $4 \times 4$ , и матрица имеет вид

$$Q = \left( \begin{array}{cc|cc} r & p_1 & q & 0 \\ 0 & r & 0 & q \\ \hline p_2 & 0 & r+q & p_1 \\ 0 & p_2 & q & r \end{array} \right).$$

Пусть  $m = 6, s = 4$  (Рис. 4). Размерность матрицы  $Q$  будет  $15 \times 15$ , и матрица имеет вид

$$Q = \left( \begin{array}{ccccc|ccccc|ccccc} r & p_1 & 0 & 0 & 0 & q & 0 & 0 & 0 & 0 & 0 & 0 & 0 & 0 & 0 \\ 0 & r & p_1 & 0 & 0 & 0 & q & 0 & 0 & 0 & 0 & 0 & 0 & 0 & 0 \\ 0 & 0 & r & p_1 & 0 & 0 & 0 & q & 0 & 0 & 0 & 0 & 0 & 0 & 0 \\ 0 & 0 & 0 & r & p_1 & 0 & 0 & 0 & q & 0 & 0 & 0 & 0 & 0 & 0 \\ 0 & 0 & 0 & 0 & r & 0 & 0 & 0 & 0 & q & 0 & 0 & 0 & 0 & 0 \\ \hline p_2 & 0 & 0 & 0 & 0 & r & p_1 & 0 & 0 & 0 & q & 0 & 0 & 0 & 0 \\ 0 & p_2 & 0 & 0 & 0 & 0 & r & p_1 & 0 & 0 & 0 & q & 0 & 0 & 0 \\ 0 & 0 & p_2 & 0 & 0 & 0 & 0 & r & p_1 & 0 & 0 & 0 & q & 0 & 0 \\ 0 & 0 & 0 & p_2 & 0 & 0 & 0 & 0 & r & p_1 & 0 & 0 & 0 & q & 0 \\ 0 & 0 & 0 & 0 & p_2 & 0 & 0 & 0 & 0 & r & 0 & 0 & 0 & 0 & q \\ \hline 0 & 0 & 0 & 0 & 0 & p_2 & 0 & 0 & 0 & 0 & r+q & p_1 & 0 & 0 & 0 \\ 0 & 0 & 0 & 0 & 0 & 0 & p_2 & 0 & 0 & 0 & q & r & p_1 & 0 & 0 \\ 0 & 0 & 0 & 0 & 0 & 0 & 0 & p_2 & 0 & 0 & 0 & q & r & p_1 & 0 \\ 0 & 0 & 0 & 0 & 0 & 0 & 0 & 0 & p_2 & 0 & 0 & 0 & q & r & p_1 \\ 0 & 0 & 0 & 0 & 0 & 0 & 0 & 0 & 0 & p_2 & 0 & 0 & 0 & q & r \end{array} \right).$$

2) Предположим, что для размера памяти  $m = d - 1$  и заданного значения  $s > 0$  выполняется утверждение теоремы. Количество невозвратных состояний в цепи равно  $(s+1)(d-1-s+1) = (s+1)(d-s)$ . Размерность матрицы  $Q$  будет  $(s+1)(d-s) \times (s+1)(d-s)$  и матрица имеет вид

$$Q = \left( \begin{array}{cccc|cccc|cccc} A_{(s+1) \times (s+1)} & B_{(s+1) \times (s+1)} & & & & & & & & & & & & & 0 \\ C_{(s+1) \times (s+1)} & A_{(s+1) \times (s+1)} & \dots & & & & & & & & & & & & \\ & C_{(s+1) \times (s+1)} & \dots & B_{(s+1) \times (s+1)} & & & & & & & & & & & \\ & & \dots & A_{(s+1) \times (s+1)} & B_{(s+1) \times (s+1)} & & & & & & & & & & \\ 0 & & & C_{(s+1) \times (s+1)} & A'_{(s+1) \times (s+1)} & & & & & & & & & & \end{array} \right).$$

3) Проверим, что при размере памяти  $m = d$  выполняется утверждение теоремы. Если добавить еще одну единицу памяти, то при фиксированном  $s$  поглощающая граница области блуждания при  $m = d - 1$   $x_2 = d - s$  сдвинется на единицу вправо и будет  $x_2 = d + 1$ . Тогда получим  $s + 1$  новых невозвратных состояний. Согласно введенной нумерации, эти состояния будут иметь младшие номера. Количество невозвратных состояний будет  $(s+1)(d-s) + (s+1) = (s+1)(d-s+1)$ . Тогда в матрицу  $Q$  при  $m = d - 1$  добавятся подматрицы:  $A_{(s+1) \times (s+1)}$ ,  $B_{(s+1) \times (s+1)}$ ,  $C_{(s+1) \times (s+1)}$ . Получили матрицу

$Q$  размерности  $(s + 1)(d - s + 1) \times (s + 1)(d - s + 1)$ :

$$Q = \left( \begin{array}{c|cccc} A_{(s+1) \times (s+1)} & B_{(s+1) \times (s+1)} & & & \\ C_{(s+1) \times (s+1)} & A_{(s+1) \times (s+1)} & B_{(s+1) \times (s+1)} & & 0 \\ & C_{(s+1) \times (s+1)} & \dots & \dots & \\ & & \dots & A_{(s+1) \times (s+1)} & B_{(s+1) \times (s+1)} \\ & 0 & & C_{(s+1) \times (s+1)} & A_{(s+1) \times (s+1)} \end{array} \right).$$

Теорема доказана.

Подматрицы матрицы  $Q$  характеризуют определенные операции над очередями. Подматрица  $A$  характеризует операции, при которых не изменяется длина очереди (например, чтение), и операции включения элементов в очередь с приоритетом 1, подматрица  $B$  – операции исключения элементов из очереди с приоритетом 2, подматрица  $C$  – операции включения элементов в очереди, подматрица  $A'$  – операции, при которых не изменяется длина очереди и операции включения и исключения элементов в очередь с приоритетом 1.

### 3. СВЯЗАННОЕ ПРЕДСТАВЛЕНИЕ

В связанном способе организации FIFO-очередь представлена в виде связанного списка, каждый элемент которого состоит из двух единиц памяти, одна из которых используется для хранения информации, вторая содержит указатель на следующий элемент в списке (Рис. 6).

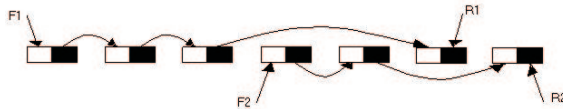


Рис. 6. Связанное представление

$F_1$  и  $F_2$  – указатели на первые элементы FIFO-очереди,  $R_1$  и  $R_2$  – указатели на последние элементы FIFO-очереди. Предполагаем, что  $m$  кратно 2. Для хранения указателей используется  $m/2$  единиц памяти, для хранения информации используется  $m/2$  единиц памяти. Количество элементов равно  $m/2$ .

**3.1. Математическая модель.** Обозначим текущие длины FIFO-очереди  $x_1$  и  $x_2$ . В качестве математической модели процесса работы с приоритетной очередью рассмотрим случайное блуждание по целочисленной решетке в треугольной области  $x_1 \geq 0, x_2 \geq 0, x_1 + x_2 < m/2 + 1$  (Рис. 7), где  $x_1 + x_2 = m/2 + 1$  – поглощающий экран,

попадание на который характеризуется как переполнение выделенного объема памяти,  $(-1, 0)$  и  $(0, -1)$  – отражающие точки, т.к. только в состоянии  $x_1 = x_2 = 0$  возможно исключение из пустой очереди. Исключение элементов из первой FIFO-очереди может происходить только при  $x_2 = 0$ .

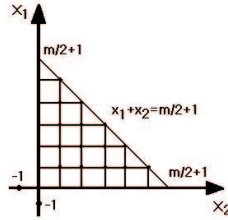


Рис. 7. Область блуждания для связанного представления

Блуждание начинается в точке  $x_1 = x_2 = 0$ . Необходимо найти среднее время блуждания  $T$  до попадания на поглощающий экран.

Рассмотрим случай, когда в очереди хранятся данные, длина информационной части которых равна  $L > 1$  единиц памяти. Тогда длина каждого элемента очереди будет  $L + 1$ , где одна единица памяти содержит указатель на следующий элемент. Предполагаем, что  $m$  кратно  $L + 1$ . Количество элементов в этом случае будет  $m/(L + 1)$ . Для хранения указателей используется  $m/(L + 1)$  единиц памяти. В качестве математической модели будем иметь случайное блуждание по целочисленной решетке в треугольной области  $x_1 \geq 0$ ,  $x_2 \geq 0$ ,  $x_1 + x_2 < m/(L + 1) + 1$  (Рис. 8), где  $x_1 + x_2 = m/(L + 1) + 1$  – поглощающий экран,  $(-1, 0)$  и  $(0, -1)$  – отражающие точки.

Блуждание начинается в точке  $x_1 = x_2 = 0$ . Необходимо найти среднее время блуждания  $T$  до попадания на поглощающий экран и сравнить со средним временем блуждания в случае последовательного представления, когда длина информационной части равна  $L$ .

#### 4. СТРАНИЧНОЕ ПРЕДСТАВЛЕНИЕ

В страничном способе организации FIFO-очередь представлена в виде связанного списка страниц размера  $x$  единиц памяти. Если одна FIFO-очередь заняла страницу, то другая FIFO-очередь не может ее использовать (Рис. 9).  $F_1$  и  $F_2$  – указатели на первые элементы FIFO-очереди,  $R_1$  и  $R_2$  – указатели на последние элементы FIFO-очереди.



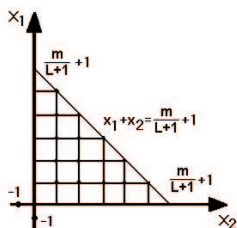


Рис. 8. Область блуждания, когда длина информационной части равна  $L$

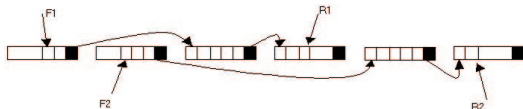


Рис. 9. Страничное представление

Предполагаем, что  $m$  кратно  $x$ . Для хранения указателей используется  $m/x$  единиц памяти, для хранения информации используется  $m - m/x$  единиц памяти. Количество страниц равно  $m/x$ . Для хранения информации у каждой страницы используется  $x - 1$  единиц памяти. При  $x = 2$  получаем связанное представление очередей.

Предполагаем, что существует механизм работы со списком свободных страниц, который позволяет при заполнении страницы предоставить очереди новую страницу. Если в очереди освободилась страница, то она возвращается в список свободных страниц. Переполнение наступает тогда, когда список свободных страниц пуст и какая-то из FIFO-очередей переполнила страницу.

**4.1. Математическая модель и матрица вероятностей переходов.** Обозначим текущие длины FIFO-очередей  $x_1$  и  $x_2$ . В качестве математической модели процесса работы с приоритетной очередью рассмотрим случайное блуждание по целочисленной решетке в треугольной области  $x_1 \geq 0, x_2 \geq 0, x_1 + x_2 < m - m/x + 1$  (Рис. 10), где  $x_1 + x_2 = m - m/x + 1$  – поглощающий экран, попадание на который характеризуется как переполнение выделенного объема памяти,  $(-1, 0)$  и  $(0, -1)$  – отражающие точки, т.к. только в состоянии  $x_1 = x_2 = 0$

возможно исключение из пустой очереди. Исключение элементов из первой FIFO-очереди может происходить только при  $x_2 = 0$ .

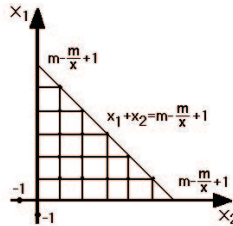


Рис. 10. Область блуждания для страничного представления

Блуждание начинается в точке  $x_1 = x_2 = 0$ . Необходимо найти среднее время блуждания  $T$  до попадания на поглощающий экран.

Обозначим  $n$  – количество единиц памяти, которые используются для хранения информации. Для страничного представления FIFO-очереди  $n = m - m/x$ . Для связанного представления FIFO-очереди  $n = m/2$ , если длина информационной части равна 1, и  $n = m/(L + 1)$ , если длина информационной части равна  $L > 1$ .

Если в произвольный момент времени процесс блуждания находится в состоянии  $(x_1, x_2)$ , то в следующий момент времени он переходит в состояние  $(x'_1, x'_2)$ , которое определяется правилами:

$$(x_1, x_2) \xrightarrow{p_1} (x'_1, x'_2) = \{(x_1 + 1, x_2), \quad x_1 \geq 0, \quad x_2 \geq 0, \quad 0 \leq x_1 + x_2 \leq n;$$

$$(x_1, x_2) \xrightarrow{p_2} (x'_1, x'_2) = \{(x_1, x_2 + 1), \quad x_1 \geq 0, \quad x_2 \geq 0, \quad 0 \leq x_1 + x_2 \leq n;$$

$$(x_1, x_2) \xrightarrow{q} (x'_1, x'_2) = \begin{cases} (x_1 - 1, x_2), & 0 < x_1 \leq n, \quad x_2 = 0; \\ (x_1, x_2 - 1), & x_1 \geq 0, \quad x_2 > 0, \quad 0 < x_1 + x_2 \leq n; \\ (x_1, x_2), & x_1 = 0, \quad x_2 = 0; \end{cases}$$

$$(x_1, x_2) \xrightarrow{r} (x'_1, x'_2) = \{(x_1, x_2), \quad x_1 \geq 0, \quad x_2 \geq 0, \quad 0 \leq x_1 + x_2 \leq n.$$

Случайное блуждание будем рассматривать как конечную одно-родную поглощающую цепь Маркова. Пронумеруем невозвратные состояния цепи так, как показано на рисунке 11, т.е. снизу вверх, справа налево. Количество невозвратных состояний вычисляется с помощью формулы суммы арифметической прогрессии и равно  $(n + 1)(n + 2)/2$ .

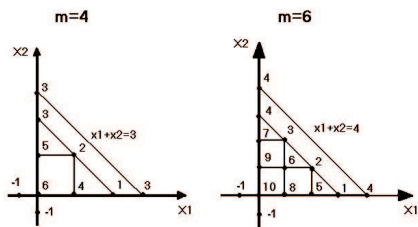


Рис. 11. Нумерация невозвратных состояний при  $x = 2$  для  $m = 4$  и  $m = 6$

Рассмотрим примеры построения области блуждания для  $m = 4$  и  $m = 6$  при  $x = 2$  (Рис. 11). Для  $m = 4$   $n = 2$ , количество невозвратных состояний равно  $3 \cdot 4/2 = 6$ , поглощающий экран  $x_1 + x_2 = n + 1 = 3$ . Для  $m = 6$   $n = 3$ , количество невозвратных состояний равно  $4 \cdot 5/2 = 10$ , поглощающий экран  $x_1 + x_2 = n + 1 = 4$ . Размеры памяти меньше 4 рассматривать не будем, т.к. в этом случае не имеет смысла рассматривать страничный способ.

Рассмотрим матрицу  $Q$  вероятностей переходов из невозвратных состояний в невозвратные.

Размерность матрицы  $Q$  будет  $(n + 1)(n + 2)/2 \times (n + 1)(n + 2)/2$ .

**Теорема 2.** Матрица  $Q$  при заданной нумерации и величине  $n$  имеет следующий вид:

$$Q = \begin{pmatrix} A_{n+1} & B_n & & & & 0 \\ C_{n+1} & A_n & B_{n-1} & & & \\ & C_n & A_{n-1} & \dots & & \\ & & C_{n-1} & \dots & B_2 & \\ & & & \dots & A_2 & B_1 \\ 0 & & & & C_2 & A_1 \end{pmatrix},$$

где подматрица  $A_k$  размера  $k \times k$

$$A_k = \begin{pmatrix} r & & & & 0 \\ & r & & & \\ & & \dots & & \\ & & & r & \\ 0 & & & & r \end{pmatrix}, \quad k = n + 1, n, \dots, 3, 2;$$

$$A_1 = (r + q),$$

подматрица  $B_k$  размера  $(k + 1) \times k$

$$B_k = \begin{pmatrix} q & & & 0 \\ & q & & \\ & & \dots & \\ 0 & & & q \\ & & & & q \end{pmatrix}, \quad k = n, n - 1, \dots, 2, 1;$$

подматрица  $C_k$  размера  $(k - 1) \times k$

$$C_k = \begin{pmatrix} p_2 & p_1 & & & 0 \\ & p_2 & p_1 & & \\ & & \dots & \dots & \\ 0 & & & p_2 & p_1 \end{pmatrix}, \quad k = n + 1, n, \dots, 3, 2.$$

ДОКАЗАТЕЛЬСТВО. Индукция проводится по количеству единиц памяти  $n$ , которое используется для хранения информации.

1) Пусть размер памяти  $m = 4$ ,  $x = 2$ ,  $n = 2$  (Рис. 11). Размерность матрицы  $Q$  будет  $6 \times 6$ .

Рассмотрим состояние 2. Из него можно перейти в состояние 5 с вероятностью  $q$  исключения элемента из очереди с приоритетом 2, можно остаться в состоянии 2 с вероятностью  $r$ . Остальные элементы в этой строке будут нулями, т.к. переходы из состояния 2 в состояния 1, 3, 4, 6 невозможны.

Рассмотрим состояние 5. Из него можно перейти в состояние 3 с вероятностью  $p_1$  включения элемента в очередь с приоритетом 1, в состояние 2 с вероятностью  $p_2$  включения элемента в очередь с приоритетом 2, в состояние 6 с вероятностью  $q$  исключения элемента из очереди с приоритетом 1 (исключения из очереди с приоритетом 1 могут происходить только при  $x_2 = 0$ , т.е. если очередь с приоритетом 2 пуста), можно остаться в состоянии 5 с вероятностью  $r$ . Остальные элементы в этой строке будут нулями, т.к. переходы из состояния 5 в состояния 1, 4 невозможны.

Рассмотрим состояние 6. Из него можно перейти в состояние 4 с вероятностью  $p_2$  включения элемента в первую очередь, можно перейти в состояние 5 с вероятностью  $p_1$  включения элемента во вторую очередь, можно остаться в состоянии 6 с вероятностью  $r + q$  ( $q$  прибавляется потому, что в этом состоянии обе очереди пусты, а исключение из пустой очереди не меняет ее длины). Остальные элементы в этой строке будут нулями, т.к. переходы из состояния 6 в состояния 1, 2, 3

невозможны. Другие состояния рассматриваются аналогично. Матрица  $Q$  имеет вид:

$$Q = \left( \begin{array}{ccc|cc|c} r & 0 & 0 & q & 0 & 0 \\ 0 & r & 0 & 0 & q & 0 \\ 0 & 0 & r & 0 & q & 0 \\ \hline p_2 & p_1 & 0 & r & 0 & q \\ 0 & p_2 & p_1 & 0 & r & q \\ \hline 0 & 0 & 0 & p_2 & p_1 & r+q \end{array} \right).$$

Если рассмотреть  $m = 6, x = 3, n = 2$ , то область блуждания и матрица  $Q$  будут такие же, как при  $m = 4, x = 2, n = 2$ .

Пусть  $m = 6, x = 2, n = 3$  (Рис. 11). Размерность матрицы  $Q$  будет  $10 \times 10$ , и матрица имеет вид:

$$Q = \left( \begin{array}{cccc|ccc|cc|c} r & 0 & 0 & 0 & q & 0 & 0 & 0 & 0 & 0 \\ 0 & r & 0 & 0 & 0 & q & 0 & 0 & 0 & 0 \\ 0 & 0 & r & 0 & 0 & 0 & q & 0 & 0 & 0 \\ 0 & 0 & 0 & r & 0 & 0 & q & 0 & 0 & 0 \\ \hline p_2 & p_1 & 0 & 0 & r & 0 & 0 & q & 0 & 0 \\ 0 & p_2 & p_1 & 0 & 0 & r & 0 & 0 & q & 0 \\ 0 & 0 & p_2 & p_1 & 0 & 0 & r & 0 & q & 0 \\ \hline 0 & 0 & 0 & 0 & p_2 & p_1 & 0 & r & 0 & q \\ 0 & 0 & 0 & 0 & 0 & p_2 & p_1 & 0 & r & q \\ \hline 0 & 0 & 0 & 0 & 0 & 0 & 0 & p_2 & p_1 & r+q \end{array} \right).$$

2) Предположим, что для размера памяти  $n = d - 1$  выполняется утверждение теоремы. Количество невозвратных состояний в цепи будет  $d(d + 1)/2$ . Матрица  $Q$  имеет размерность  $d(d + 1)/2 \times d(d + 1)/2$  и блочную структуру:

$$Q = \left( \begin{array}{cccccc} A_d & B_{d-1} & & & & 0 \\ C_d & A_{d-1} & B_{d-2} & & & \\ & C_{d-1} & A_{d-2} & \dots & & \\ & & C_{d-2} & \dots & B_2 & \\ & & & \dots & A_2 & B_1 \\ 0 & & & & C_2 & A_1 \end{array} \right).$$

3) Проверим, что при размере памяти  $n = d$  выполняется утверждение теоремы. Если добавить еще одну единицу памяти, тогда поглощающая граница сдвинется вправо на единицу и будет  $x_1 + x_2 = d + 1$ . Тогда в цепи появятся  $d + 1$  новых невозвратных состояний. Количество невозвратных состояний в цепи будет равно  $d(d + 1)/2 + (d + 1) = (d + 1)(d + 2)/2$ . Количество строк и столбцов в матрице  $Q$  при  $n = d - 1$  увеличится на  $d + 1$ . Согласно введенной нумерации, новые состояния будут иметь младшие номера, а состояния цепи при  $n = d - 1$  будут

следовать за ними. Тогда в матрицу  $Q$  добавятся подматрицы:  $A_{d+1}$  размерности  $(d+1) \times (d+1)$ ,  $B_d$  размерности  $(d+1) \times d$ ,  $C_{d+1}$  размерности  $d \times (d+1)$ , которые будут описывать переходы из новых  $d+1$  состояний. Получили матрицу  $Q$  размерности  $(d+1)(d+2)/2 \times (d+1)(d+2)/2$ :

$$Q = \left( \begin{array}{c|cccc} A_{d+1} & B_d & & & \\ \hline C_{d+1} & A_d & B_{d-1} & & 0 \\ & C_d & A_{d-1} & \dots & \\ & & C_{d-1} & \dots & B_2 \\ & & & \dots & A_2 & B_1 \\ & 0 & & & C_2 & A_1 \end{array} \right).$$

Теорема доказана.

Подматрицы матрицы  $Q$  описывают определенные операции над очередями. Подматрица  $A$  характеризует операции, при которых не изменяется длина очереди (например, чтение), подматрица  $B$  – операции исключения информации из очередей, подматрица  $C$  – операции включения информации в очереди.

## 5. РЕШЕНИЕ ЗАДАЧИ

Для решения задачи вычислим фундаментальную матрицу  $N = (I - Q)^{-1}$ . В случае последовательного представления необходимо построить матрицу  $Q$ , вычислить матрицу  $N$  для всевозможных значений  $s$ . Для вычисления среднего времени блуждания просуммируем элементы матрицы  $N$  в строке, которая соответствует начальному состоянию  $x_1 = x_2 = 0$ . Согласно введенной нумерации это будет строка с номером  $(s+1)(m-s+1) - s$ . Затем сравним полученное время для разных значений  $s$  и выберем максимальное. Соответствующее максимальному времени значение  $s$  будет оптимальным разбиением памяти для последовательного представления.

В случае связанного и страничного представления необходимо построить матрицу  $Q$ , вычислить матрицу  $N$  и просуммировать элементы матрицы  $N$  в строке, которая соответствует начальному состоянию  $x_1 = x_2 = 0$ . Согласно введенной нумерации это будет последняя строка матрицы  $N$ .

В случае страничного представления вычисленное среднее время блуждания будет оценкой сверху для реального среднего времени. Обозначим эту оценку  $T_{max}$ . Также, можно вычислить оценку снизу

$T_{min}$  для среднего времени блуждания. Для оценки сверху рассмотрим блуждание в области  $x_1 + x_2 < t - m/x + 1$ , для оценки снизу блуждание в области  $x_1 + x_2 < t - m/x - 3(x - 2) + 1$ . При связанном представлении вычисленное время  $T$  — это среднее время блуждания.

Для страничного представления оптимальный размер страницы равен  $x = \sqrt{6 \cdot m/3}$ . Рассматривая, для какого размера памяти  $m$  область блуждания в случае связанного представления может быть меньше, чем область блуждания в случае страничного представления для минимальной оценки среднего времени, получаем, что для  $m > 24$  при  $x = \sqrt{6 \cdot m/3}$  и для любого  $m$  при  $2 < x < m/6$  среднее время блуждания до поглощения в случае связанного представления будет меньше, чем минимальная оценка среднего времени в случае страничного представления.

## 6. РЕЗУЛЬТАТЫ ЧИСЛЕННЫХ ЭКСПЕРИМЕНТОВ

Для реализации алгоритма решения задачи разработаны программы для ЭВМ, которые генерируют матрицу  $Q$ , вычисляют матрицу  $N$  и среднее время работы для каждого из рассмотренных способов представления.

В таблицах 1, 2, 3, 4 представлены результаты вычислений. В первых четырех столбцах находятся вероятностные характеристики приоритетной очереди, в столбце с названием  $m$  содержится размер выделенной памяти.

Столбец с названием  $A_1$  соответствует последовательному представлению для размера памяти  $m$ , столбец с названием  $A'_1$  соответствует последовательному представлению для размера памяти  $m - 2$ , т.е. когда учитываются две единицы памяти при реализации двух циклических FIFO-очереди. В столбце с названием  $s$  находится оптимальное количество единиц памяти, выделенных первой FIFO-очереди, в столбце с названием  $T$  находится среднее время работы.

В столбце с названием  $A_2$  находится среднее время работы  $T$  для связанного представления. В столбце с названием  $A_3$  находятся минимальная  $T_{min}$  и максимальная  $T_{max}$  оценки среднего времени для страничного представления и оптимальный размер страницы  $x$ .

Из представленных результатов в таблицах 1 и 2 видно, что при  $m = 20$  ( $m < 24$ ) среднее время для связанного представления находится между оценками  $T_{min}$  и  $T_{max}$  для страничного представления. При  $m = 32$  ( $m > 24$ ) видно, что среднее время для связанного

Таблица 1. Среднее время работы с очередью по приоритетам для  $m = 20$

$r$	$p_1$	$p_2$	$q$	$m$	$A_1$		$A'_1$		$A_2$	$A_3$		
					$s$	$T$	$s$	$T$	$T$	$x$	$T_{min}$	$T_{max}$
0.25	0.25	0.25	0.25	20	13	62.99	12	56.38	40.0	4	36.0	60.0
0.1	0.4	0.4	0.1	20	11	25.4	10	22.82	15.51	4	14.08	22.65
0	0.1	0.6	0.3	20	5	43.02	5	38.76	25.63	4	23.13	38.13
0.2	0.6	0.1	0.1	20	17	30.47	15	27.49	18.06	4	16.39	26.39
0	0.7	0.3	0	20	13	18.4	12	16.6	11.0	4	10.0	16.0
0	0.3	0.7	0	20	7	18.4	6	16.6	11.0	4	10.0	16.0
0.1	0.3	0.2	0.4	20	15	128.69	13	111.61	73.44	4	64.3	121.13
0.1	0.2	0.3	0.4	20	13	121.58	11	106.2	73.44	4	64.3	121.13
0.5	0.2	0.2	0.1	20	12	57.09	10	51.2	35.56	4	32.22	52.22

Таблица 2. Среднее время работы с очередью по приоритетам для  $m = 32$

$r$	$p_1$	$p_2$	$q$	$m$	$A_1$		$A'_1$		$A_2$	$A_3$		
					$s$	$T$	$s$	$T$	$T$	$x$	$T_{min}$	$T_{max}$
0.25	0.25	0.25	0.25	32	22	102.93	21	96.33	64.0	4	72.0	96.0
0.1	0.4	0.4	0.1	32	18	40.9	16	38.29	24.08	4	26.94	35.51
0	0.1	0.6	0.3	32	9	70.41	8	65.77	40.63	4	45.63	60.63
0.2	0.6	0.1	0.1	32	27	48.63	26	45.6	28.06	4	31.39	41.39
0	0.7	0.3	0	32	21	29.5	20	27.7	17.0	4	18.99	25.0
0	0.3	0.7	0	32	11	29.5	10	27.7	17.0	4	19.0	25.0
0.1	0.3	0.2	0.4	32	26	232.42	24	215.1	130.9	4	150.58	210.15
0.1	0.2	0.3	0.4	32	22	217.51	21	201.28	130.9	4	150.58	210.15
0.5	0.2	0.2	0.1	32	19	92.45	18	86.55	55.56	4	62.22	82.22

представления меньше минимальной оценки среднего времени  $T_{min}$  для страничного представления, оптимальный размер страницы  $x = 4$  удовлетворяет неравенству  $2 < x < m/6$ .

Сравнивая среднее время работы для последовательного и страничного представления, видно, что для некоторых наборов вероятностей среднее время для последовательного представления меньше оценки сверху  $T_{max}$  для страничного представления. Тем не менее, видно, что для некоторых наборов вероятностей среднее время для



Таблица 3. Среднее время работы с очередью по приоритетам для  $m = 60$  при длине информационной части  $L > 1$

$r$	$p_1$	$p_2$	$q$	$m$	$L = 2$			$L = 3$		
					$A_1$		$A_2$	$A_1$		$A_2$
					$s$	$T$	$T$	$s$	$T$	$T$
0.25	0.25	0.25	0.25	60	21	96.33	80.0	13	62.99	60.0
0.1	0.4	0.4	0.1	60	16	38.29	29.8	11	25.4	22.65
0	0.1	0.6	0.3	60	8	65.77	50.63	5	43.02	38.13
0.2	0.6	0.1	0.1	60	26	45.6	34.72	17	30.47	26.39
0	0.7	0.3	0	60	20	27.69	21.0	13	18.4	16.0
0	0.3	0.7	0	60	10	27.69	21.0	7	18.4	16.0
0.1	0.3	0.2	0.4	60	24	215.1	170.37	15	128.69	121.13
0.1	0.2	0.3	0.4	60	21	201.3	170.37	13	121.58	121.13
0.5	0.2	0.2	0.1	60	18	86.55	68.89	12	57.09	52.22

Таблица 4. Среднее время работы с очередью по приоритетам для  $m = 60$  при длине информационной части  $L > 1$

$r$	$p_1$	$p_2$	$q$	$m$	$L = 4$			$L = 5$		
					$A_1$		$A_2$	$A_1$		$A_2$
					$s$	$T$	$T$	$s$	$T$	$T$
0.25	0.25	0.25	0.25	60	10	46.37	48.0	7	36.73	40.0
0.1	0.4	0.4	0.1	60	8	19.05	18.37	6	15.2	15.51
0	0.1	0.6	0.3	60	4	32.14	30.63	3	25.55	25.63
0.2	0.6	0.1	0.1	60	12	22.79	21.39	10	18.52	18.06
0	0.7	0.3	0	60	10	13.87	13.0	8	11.17	11.0
0	0.3	0.7	0	60	5	13.87	13.0	4	11.17	11.0
0.1	0.3	0.2	0.4	60	11	88.04	92.2	8	64.66	73.44
0.1	0.2	0.3	0.4	60	9	84.22	92.2	7	63.0	73.44
0.5	0.2	0.2	0.1	60	9	42.62	42.22	7	34.23	35.56

последовательного представления больше, чем максимальная оценка  $T_{max}$  для страничного представления.

Сравнивая связанное и последовательное представление, видно, что среднее время для связанного представления всегда меньше среднего времени для последовательного представления.

Сравнивая результаты в случае, когда длина информационной части равна  $L > 1$ , видно, что с ростом  $L$  среднее время для связанного

представления становится больше среднего времени для последовательного представления. Например, при  $L = 5$  среднее время для связанного представления в основном больше среднего времени для последовательного представления.

### ЛИТЕРАТУРА

1. Седжвик Р. Фундаментальные алгоритмы на C++. Анализ /Структуры данных /Сортировка/ Поиск: Пер. с англ./ Роберт Седжвик. К.: Издательство "Диасофт", 2001.
2. Боллапаргада В., Мэрфи К., Расс У. Структура операционной системы Cisco IOS. М.: Вильямс, 2002, 163–189.
3. Кемени Дж., Снелл Дж. Конечные цепи Маркова. М.: Наука, 1970.